

ランガーウーブン橋上弦材の横座屈の実験と解析
(シングルコード)

三菱重工	神戸造船所	正員	矢野 謙
"	神戸研究所	"	今政博郎
"	技術本部	正員	大坂憲司
"	神戸造船所	"	高橋三郎
"	神戸研究所	"	新井造一

一般にランガーウーブン橋などのアーチ系橋は、トラス橋と同様に2側の横面が上部構造により結合されるが、4側の支承間に不等沈下のおそれがある場合、または橋面走行時の上部視野を広げるために、上部構造を有するかあるかの独立した横面が必要とする場合がある。とくに、水管橋のようにパイプビームの補剛型式としてランガータイプを採用する場合、横面を1側にするにより経済性を高めることができる。こゝに水管橋を対象としたシングルコードランガーウーブン橋のアーチリブの安定性について報告する。

1. 理論的考察 トラス、ラーメンまたは混合形など任意の骨組構造物の弹性座屈荷重解析法について述べる。まず構造物を構成している部材の結合点には付番が、また部材には付番がつけられていて記述を一般化しやすいようにしてある。部材の長手方向を基準とした部材固有の直交座標系と構造物全体に共通する直交座標系との座標変換関係を表すマトリックスを R_{ik} とし、部材座標系に基づく3軸方向の部材端力および3軸回りのモーメントをベクトル f_{ik} , m_{ik} 、さらに基準座標系に基づく3軸方向および軸回りに作用する外力およびモーメントをベクトル F_i , M_i で表わせば、平衡状態にある構造物の結合点の釣合方程式は、

$$\sum_k R_{ik} \cdot f_{ik} + P_i = \bar{0}, \quad \sum_k R_{ik} \cdot m_{ik} + M_i = \bar{0} \quad \dots \dots \dots (1)$$

と書ける。ここに \sum_k は、 i 点に結合されるすべての部材について総和することを表わし、 R_{ik} , f_{ik} , m_{ik} は、すべての部材の先端を基準とした i 点に関するマトリックスおよびベクトルであることを表わしている。

ところが、平衡状態にある構造物に微少な付加変位を与えたときに別の平衡状態が存在するとすれば、(1)式は高次の微少項を省略して

$$\left. \begin{aligned} \sum_k R_{ik} \bar{f}_{ik} + \sum_k R_{ik} \delta f_{ik} + \sum_k \delta R_{ik} \bar{f}_{ik} + \bar{F}_i &= \bar{0} \\ \sum_k R_{ik} \bar{m}_{ik} + \sum_k R_{ik} \delta m_{ik} + \sum_k \delta R_{ik} \bar{m}_{ik} + \bar{M}_i &= \bar{0} \end{aligned} \right\} \dots \dots \dots (2)$$

と表わせる。(2)式-(1)式を代入すると、

$$\left. \begin{aligned} \sum_k R_{ik} \delta f_{ik} + \sum_k \delta R_{ik} \bar{f}_{ik} &= \bar{0}, \\ \sum_k R_{ik} \delta m_{ik} + \sum_k \delta R_{ik} \bar{m}_{ik} &= \bar{0}. \end{aligned} \right\} \dots \dots \dots (3)$$

となる。 R_{ik} , f_{ik} , m_{ik} は、結合点における基準座標の関数として表わされるから、結局、 δR_{ik} , δf_{ik} , δm_{ik} は結合点における付加変位の1次関数として表わすことができる。すなはち(3)式中第1項は、付加変位による部材力およびモーメントの変化量であり、第2項は付加変位が生ずる前の部材力の基準座標軸方向成分が付加変位によって受けた

変化量である。結合臭における釣合式③を構造物全体についてまとめれば、

$$\mathbb{F} \cdot \bar{\mu} + P_E \mathbb{G} \cdot \bar{\mu} = \bar{0} \quad \dots \dots \dots \quad (4)$$

となる。ここに部材力は、外力に比例するとして基準外力に対する比例常数を P_E とおいていふ。(4)式を満足する α がない P_E と α が求める座屈荷重と座屈モードを表すことになる。

本法の利点は、トラス、ラーメン構造を含む一般的な骨組構造の座屈解析法として容易に数値計算が可能であることである。

2. 実験結果 上記計算式により、横倒れ單性座屈を生じな

いもの model 1, 生ずるもの model 2 を製作した。(写真 1)
 model 1 は写真 2 に示す実橋の相似模型であり、座屈荷重以下でアーチリブが極限圧縮力に達する計算結果が得られたものである。載荷方法は格段 8ヶ所に同等の集中荷重が作用するリンク装置を用いた。model 1, 2, とも剛結合(図-1 No.1)として製作した。

Model 1: 荷重 14ton からアーチリブの曲がりが始まり、このときの圧縮応力は $2,450 \text{ kg/cm}^2$ で比例限界とみされ、最終荷重 21.3 ton ($3,740 \text{ kg/cm}^2$) で圧縮破壊を起こす。理論上の座屈荷重は 93.3 ton。

図-1は剛結合とヒンジ結合の種々の組合せによる耐荷力の比較を示す。

3. 在来式との比較 フリ杖をもつアーチリフの座屈式として model 2 の解析値と比較すると、

座屈水平力 H_{cr} 本実験角解析 $H_{cr} = 913 \text{ kg}$ (座屈角
定) $= 630 \text{ kg}$ と比較), DIN 4114 $H_{cr} = 94.0 \frac{E I_y}{L^2} = 259 \text{ kg}$,
P. Stein $H_{cr} = 94.0 \frac{E I_y}{L^2} = 304 \text{ kg}$, ($\text{たて} L_f = 0.1$)
となり, 在来式は非常に安全側の値を与えた。

写真 1 試験体

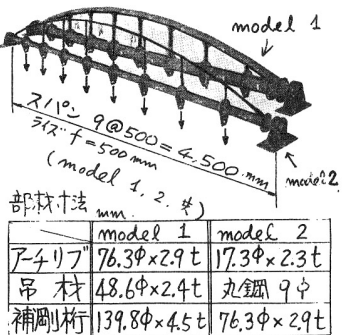
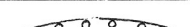
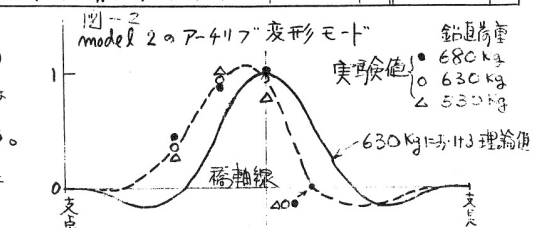


図-1 鉛直座屈荷重値 $W \times 8 \text{ kg}$ W : 棚床荷重
の比較(計算) model 1 model 2

の比較(計算)		Model 1	Model 2
1		$11,668 \times 8 = 93,344 \text{ kg}$	$78.8 \times 8 = 63C.4 \text{ kg}$
2		$7766 \times 8 = 61,648 \text{ kg}$	$53.4 \times 8 = 427.2 \text{ kg}$
3		$4,012 \times 8 = 32,096 \text{ kg}$	$29.5 \times 8 = 236.0 \text{ kg}$



寒風 2



太分県(昭和井路地区)大野川サホン水管橋

参考文献 (1) P. Stein, Die Anwendung des „Verdrängungsverfahrens“ zur Ermittlung der kritischen Last von Dosenträgern. Zum Innenwiderstand senkrechter zu ihrer Ebene unter Berücksichtigung von biegebeanspruchten Hängern. Der Bauingenieur (1961) Heft 5
 (2) 藤野 大枝. 木箱の強度と耐荷重性について. 第2回木造構造研究会講演集(1962) I. 木造構造研究会